

РАСЧЕТ НЕСТАЦИОНАРНЫХ УПРУГИХ ВОЛН
В ИЗОТРОПНОМ СЛОЕ

B. A. Сарайкин

(*Новосибирск*)

Рассматривается плоская задача о нестационарных волнах в бесконечном изотропном слое. На границу слоя в момент времени $t = 0$ начинает действовать нормальная сила. Противоположная сторона слоя свободна от напряжений. Применением интегральных преобразований получено решение задачи в изображениях. Разложением решения в изображениях в ряд по степеням экспонент и обращением каждого члена полученного ряда аналитически определено точное решение задачи. Проведен расчет поля напряжений и скоростей в слое. Использование для расчетов аналитических зависимостей позволяет в отличие от расчета конечно-разностными методами достаточно точно определить волновую картину и исключить специфические эффекты, присущие разностным уравнениям. Примененный в работе алгоритм расчета позволяет вычислить решение задачи в любой точке слоя. Приведенные результаты расчетов дают представление о распределении напряжений и скоростей частиц по толщине и в продольном направлении.

Расчет нестационарных задач суммированием по волнам, как это проделано в данной работе, наряду с методами, изложенными в работах [1, 2], позволяет полнее представить волновые переходные процессы в слое.

Пусть слой занимает область, ограниченную плоскостями $y = 0$ и $y = 1$. Две другие оси (x и z) перпендикулярны оси y и расположены в плоскости слоя. За единицу измерения в задаче приняты: толщина слоя, скорость волны расширения (c_1), плотность среды. Единицей времени служит интервал времени, в течение которого волна расширения проходит расстояние, равное толщине слоя.

В граничных условиях задается распределение вектора напряжений на лицевой стороне слоя $y = 0$; на тыльной стороне слоя $y = 1$ напряжения отсутствуют

$$(1) \quad \begin{aligned} \sigma_y &= -\frac{1}{\pi} \frac{\delta}{\delta^2 + x^2} \delta_0(t), \quad \sigma_{xy} = 0 \quad (y = 0) \\ \sigma_y &= \tau_{xy} = 0 \quad (y = 1) \end{aligned}$$

Здесь через $\delta_0(t)$ обозначена единичная функция Хевисайда, а δ — вещественный параметр нагрузки.

Начальные условия задачи нулевые.

Напряжения и смещения не зависят от координаты z и связаны линейными соотношениями

$$(2) \quad \begin{aligned} \sigma_x &= \frac{\partial u}{\partial x} + (1 - 2c_2^2) \frac{\partial v}{\partial y}, \quad \sigma_{xy} = c_2^2 \left(\frac{\partial u}{\partial y} + \frac{\partial v}{\partial x} \right) \\ \sigma_y &= (1 - 2c_2^2) \frac{\partial u}{\partial x} + \frac{\partial v}{\partial y}, \quad \varepsilon_{zz} = \varepsilon_{xz} = \varepsilon_{yz} = 0 \end{aligned}$$

где ε_{if} — деформации в слое.

Продольное u и поперечное v смещения в слое должны удовлетворять уравнениям

$$(3) \quad \begin{aligned} \frac{\partial^2 u}{\partial x^2} + (1 - c_2^2) \frac{\partial^2 v}{\partial x \partial y} + c_2^2 \frac{\partial^2 u}{\partial y^2} - \frac{\partial^2 u}{\partial t^2} &= 0 \\ c_2^2 \frac{\partial^2 v}{\partial x^2} + (1 - c_2^2) \frac{\partial^2 u}{\partial x \partial y} + \frac{\partial^2 v}{\partial y^2} - \frac{\partial^2 v}{\partial t^2} &= 0 \end{aligned}$$

В принятых единицах измерения $c_2 = \sqrt{\mu}$ — скорость волны сдвига; $\lambda + 2\mu = 1$; λ, μ — упругие постоянные среды, t — время.

При решении задачи применяются преобразования Лапласа по t и Фурье вдоль оси x

$$u^L(p) = \int_0^\infty u(t) \exp(-pt) dt, \quad u^F(q) = \int_{-\infty}^\infty u(x) \exp(iqx) dx$$

Применив интегральные преобразования к уравнениям движения (3), получим систему обыкновенных дифференциальных уравнений с постоянными коэффициентами. Решая систему и определяя значения постоянных в общем решении из преобразованных граничных условий (1), находим изображения напряжений и скоростей в изотропном слое

$$(4) \quad \begin{aligned} \left(\frac{\partial u}{\partial t} \right)^{LF} &= \frac{1}{2} b_2^2 i q \exp(-\delta |q|) [(n_2^2 + q^2) \Omega_1 - 2n_1 n_2 \Omega_2] \\ \left(\frac{\partial v}{\partial t} \right)^{LF} &= \frac{1}{2} b_2^2 n_1 \exp(-\delta |q|) \frac{d}{dy} \left[(n_2^2 + q^2) \frac{\Omega_1}{n_1} - 2q^2 \frac{\Omega_2}{n_2} \right] \\ \sigma_x^{LF} &= \frac{1}{2p} \exp(-\delta |q|) [(n_2^2 + q^2) (b_2^2 q^2 - \\ &\quad - (b_2^2 - 2) n_1^2) \Omega_1 - 4n_1 n_2 q^2 \Omega_2] \\ \sigma_y^{LF} &= -\frac{1}{2p} \exp(-\delta |q|) [(n_2^2 + q^2)^2 \Omega_1 - 4n_1 n_2 q^2 \Omega_2] \\ \sigma_{xy}^{LF} &= \frac{iq}{p} n_1 (n_2^2 + q^2) \exp(-\delta |q|) \frac{d}{dy} \left(\frac{\Omega_1}{n_1} - \frac{\Omega_2}{n_2} \right) \\ n_1 &= \sqrt{q^2 + p^2}, \quad n_2 = \sqrt{q^2 + b_2^2 p^2}, \quad n_{1,2} > 0 \\ \text{при } p &> 0, \quad \operatorname{Im} q = 0 \\ \Omega_l &= \frac{1}{L_1} \operatorname{sh} \frac{n_l}{2} \operatorname{ch} \left(\frac{n_l}{2} - n_l y \right) + \frac{1}{L_2} \operatorname{ch} \frac{n_l}{2} \operatorname{sh} \left(\frac{n_l}{2} - n_l y \right) \\ (b_2 &= 1/c_2, \quad l = 1, 2; \quad l + j = 3) \end{aligned}$$

Через L_1 и L_2 обозначены знаменатели симметричной и антисимметричной частей решения

$$L_l = (n_2^2 + q^2)^2 \operatorname{ch} \frac{n_l}{2} \operatorname{sh} \frac{n_l}{2} - 4n_1 n_2 q^2 \operatorname{sh} \frac{n_l}{2} \operatorname{ch} \frac{n_l}{2} \quad (l = 1, 2; \quad l + j = 3)$$

Решение (4) описывает все волны, возникающие в результате многочленных отражений от границ. Можно представить данное решение в виде ряда по группам волн, претерпевшим одинаковое количество отражений. Для этого представим решение (4) в виде разложений в ряд по степеням экспонент (см., например, [3])

$$\begin{aligned} R_1 L_l^{-1} &= 4 \exp \left(-\frac{n_1}{2} - \frac{n_2}{2} \right) \sum_{n=0}^{\infty} [\exp(-n_1 - n_2) + (-1)^l \times \\ &\quad \times \gamma (\exp(-n_1) - \exp(-n_2))]^n = 4 \exp \left(-\frac{n_1}{2} - \frac{n_2}{2} \right) \times \\ &\quad \times \sum_{n=0}^{\infty} \sum_{k=0}^n \sum_{m=0}^k (-1)^{(2-l)k} a_{mnk} \exp [(m-n)n_1 + (k-m-n)n_2] \\ \gamma &= \frac{R_2}{R_1}, \quad R_l = (n_2^2 + q^2)^2 + (-1)^l 4n_1 n_2 q^2, \quad a_{mnk} = \\ &= \frac{(-1)^m \gamma^k n!}{m! (n-k)! (k-m)!} \quad (l = 1, 2) \end{aligned}$$

Эти разложения позволяют записать Ω_l в решении в виде суммы экспонент. Каждая экспонента определяет вклад в решение соответствующей ей отраженной волны

$$(5) \quad R_1 \Omega_l = [\exp(-n_l y) - \exp(-n_1 - n_2 + n_l y)] \Sigma_1 + [\exp(-n_l + n_l y) - \exp(-n_j - n_l y)] \Sigma_2$$

$$\Sigma_l = \sum_{n=0}^{\infty} \sum_{k=0}^n \sum_{m=0}^k [(-1)^k + (-1)^{l+1}] a_{mnk} \exp[(m-n)n_1 + (k-m-n)n_2] \quad (l = 1, 2; l+j = 3)$$

Подставим разложения (5) в решение задачи (4). Экспоненциальные множители при каждом слагаемом в решении указывают на запаздывание оригинала для данного слагаемого. Таким образом, при заданном времени t следует удерживать конечное число слагаемых в решении. Подробно о суммировании волн написано ниже.

Рассмотрим произвольное слагаемое в решении (4)

$$(6) \quad \sigma^{LF}(p, q, y) = \frac{i}{p} \Phi(p, q) \exp[-\alpha n_1(p, q) - \beta n_2(p, q) - \delta |q|] = \sigma_0^{LF}(p, q) \exp(-\delta |q|)$$

$$n_{1,2}(p, p \xi) = p n_{1,2}(1, \xi), \quad \Phi(p, p \xi) = \Phi(1, \xi)$$

Здесь $n_{1,2}$ — однородные функции первого порядка, а Φ — нулевого. Изображения такого вида присущи более простым динамическим задачам: плоская задача об источнике возмущений в безграничной среде, плоская задача Лемба для полупространства. В данном случае решение задачи с характерными размерами (толщина слоя и параметр нагрузки δ) благодаря разложениям (5) удается представить в виде суммы подобных LF -изображений.

При обращении (6) используем путь, предложенный в [4] (стр. 80—85, 194—201) и примененный при решении задачи Лемба для изотропного полупространства.

Представим оригинал искомой в (6) функции в виде

$$(7) \quad \sigma = \sigma_+(s_+) + \sigma_-(s_-), \quad s_{\pm} = \delta \pm ix$$

Функции σ_+ и σ_- являются аналитическими функциями s_{\pm} в правых полуплоскостях $\operatorname{Re} s_{\pm} > 0$

$$(8) \quad \sigma_{\pm}(s_{\pm}) = \frac{i}{2\pi} \int_0^{\infty} \sigma_0^{LF}(\pm q) \exp(-s_{\pm} q) dq$$

Так как σ_+ и σ_- — аналитические функции, то они полностью определяются своими значениями на вещественных полуосиях $\operatorname{Re} s_{\pm} = \delta > 0$. Учитывая представление функции σ в (7), из (8) определяем

$$(9) \quad \sigma^L = \sigma_+^L + \sigma_-^L = 2 \operatorname{Re} \sigma_+^L = \frac{1}{\pi} \operatorname{Re} \int_0^{\infty} \sigma_0^{LF}(p, q) \exp(-s_+ q) dq$$

Положив $q = p\xi$ при $s_+ > 0$, $p > 0$, получаем L -изображение искомой функции

$$(10) \quad \begin{aligned} \sigma^L(p, s_+, y) &= \frac{1}{\pi} \operatorname{Re} \int_0^\infty \Phi(1, \xi) \exp[-p(am_1 + \beta m_2 + s_+ \xi)] d\xi \\ m_1 &= \sqrt{1 + \xi^2}, \quad m_2 = \sqrt{b_2^2 + \xi^2} \\ m_{1,2} &> 0 \quad \text{при } \operatorname{Re} \xi > 0, \quad \operatorname{Im} \xi = 0 \end{aligned}$$

Положительные значения p , лежащие правее абсциссы сходимости, полностью определяют изображение — аналитическую функцию p .

Обозначим

$$(11) \quad am_1(\xi) + \beta m_2(\xi) + s_+ \xi = t + \alpha + b_2 \beta \quad (s_+ > 0)$$

Положительное решение уравнения (11) единственно относительно t , так как слева стоит положительная ($s_+ > 0$) монотонно возрастающая функция

$$\begin{aligned} (d\xi/dt)^{-1} &= am'_1(\xi) + \beta m'_2(\xi) + s_+ > 0 \quad (\xi > 0) \\ m_{1,2}(\xi) &\rightarrow \infty \quad \text{при } \xi \rightarrow \infty \end{aligned}$$

Сделав замену переменных (11), приводим L -изображение функции σ в выражении (10) к виду

$$(12) \quad \sigma^L(p, s_+, y) = \frac{1}{\pi} \operatorname{Re} \int_0^\infty \frac{\Phi(1, \xi(t, s_+, y))}{am'_1 + \beta m'_2 + s_+} \exp[-p(t + \alpha + b_2 \beta)] dt \quad (s_+ > 0)$$

В правой части (12) стоит преобразование Лапласа функции

$$(13) \quad \sigma(t, s_+, y) = \frac{1}{\pi} \operatorname{Re} \left[\frac{\Phi(1, \xi(t - \alpha - b_2 \beta, s_+, y))}{am'_1 + \beta m'_2 + s_+} \right] \quad (s_+ = \delta + ix)$$

которая, таким образом, является искомым оригиналом. При $\delta = 0$ получаем выражение общего члена решения для сосредоточенной нагрузки.

При решении задачи на ЭЦВМ суммировались выражения (13). Конкретный вид $\Phi(1, \xi)$ для каждого слагаемого находился из (4), (5). Значения ξ определялись численно из уравнения (11), которое при $\alpha \neq 0$, $\beta \neq 0$, $s_+ = \delta + ix \neq 0$ является уравнением четвертой степени с комплексными коэффициентами. Степень уравнения понижается, если либо α , либо β равно нулю. Если $s_+ = 0$ (нагрузка на поверхности слоя сосредоточена и волновой процесс рассматривается на оси симметрии $x = 0$), то уравнение (11) приводится к биквадратному. Хотя в этом случае ξ довольно просто выражается через t и y , привести здесь явный вид решения не представляется возможным из-за громоздкости.

Решение для касательного воздействия на лицевую поверхность слоя получается аналогично. Если заменить в граничных условиях $\delta_0(t)$ на импульс $\delta_1(t)$, то также будут выражаться u - и v -смещения в слое.

Опишем алгоритм суммирования волн, примененный в задаче при расчете. В разложениях Ω_l в формулах (5) множителями при Σ_1 и Σ_2 стоят

величины

$$\begin{aligned} A_1 &= \exp(-n_1 - n_2 + n_1 y), \quad A_3 = \exp(-n_1 + n_1 y) \\ A_2 &= \exp(-n_1 - n_2 + n_2 y), \quad A_4 = \exp(-n_2 + n_2 y) \\ B_1 &= \exp(-n_1 y), \quad B_3 = \exp(-n_2 - n_1 y) \\ B_2 &= \exp(-n_2 y), \quad B_4 = \exp(-n_1 - n_2 y) \end{aligned}$$

Слагаемые с коэффициентами A_i описывают волны, идущие от тыльной стороны слоя $y = 1$ к лицевой $y = 0$; с коэффициентами B_i — волны, отраженные от лицевой и идущие к тыльной стороне слоя. Радикалы n_1 и n_2 в показателях экспонент указывают на вид волны, а множители перед ними (см. (5)) — на длину пробега волны по толщине слоя.

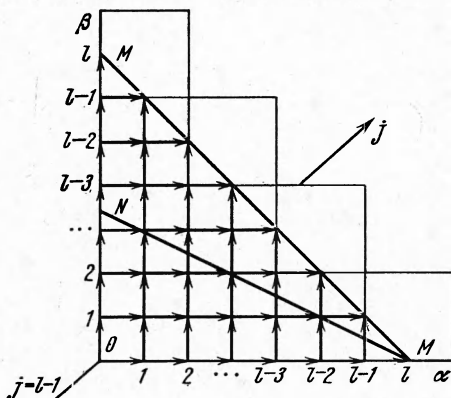
Обозначим, как это было сделано выше (см. (6)), через α (m, n) множитель в показателе экспоненты при n_1 , а через β (m, n, k) — множитель при n_2 . Пусть j определяет число отражений, которые претерпела волна расширения, идущая первой от источника возмущений на границе $y = 0$. Если t_0 — время от начала процесса, то $0 \leq j \leq E(t_0) + 1$ (E — целая часть числа). Собирая в Σ_1 и Σ_2 волны, прошедшие по толщине слоя j раз ($\alpha + \beta = j$), определяем комбинации m, n, k , которые описывают все волны, образовавшиеся после j -го отражения. Таким образом выделяются все волны, прошедшие одинаковое расстояние по толщине слоя. Тот факт, что они идут с различными скоростями (c_1 и c_2) и, следовательно, отражения сдвиговых волн запаздывают во времени, будет учтен потом.

Получаем, что для Σ_1 и Σ_2 с множителями A_1, A_2, B_1, B_2 при j четном m, n, k меняются в пределах $j/2 \leq n \leq j, k = 2n - j, 0 \leq m \leq k$, а при j нечетном — $(j+1)/2 \leq n \leq j, k = 2n - j, 0 \leq m \leq k$.

Для волн, описываемых выражениями с множителями A_3, A_4, B_3, B_4 в суммировании следует сделать сдвиг, а именно, если j четно, то для $j \geq 2$ находим $j/2 \leq n \leq j-1, k = 2n - j + 1, 0 \leq m \leq k$. Если же j нечетно и $j \geq 3$, то $(j-1)/2 \leq n \leq j-1, k = 2n - j + 1, 0 \leq m \leq k$.

При расчете задачи число отраженных от поверхностей слоя волн определялось следующим образом. На фиг. 1 стрелками указаны направления, вдоль которых следует продвигаться, чтобы достичь прямой MM' . Вдоль осей отложено расстояние $OM = j + 1 = l$, пройденное первой волной расширения к моменту $j + 1$ -го отражения. Узлы сетки определяют значения α и β , при которых происходили отражения. Все возможные пути до прямой MM' , равные OM , определяют все комбинации волн (значения α и β), которые образовались после j -го отражения. Просуммировав эти волны (см. приведенные выше зависимости m, n, k от j), определим вклад данного j -го отражения в решение задачи. Чтобы найти полное решение задачи, суммы, полученные для различных j , надо просуммировать по j .

Чтобы учесть запаздывание сдвиговых волн, отложим на оси β отрезок $ON = c_2 t_0$. Прямая MN на фиг. 1 (ее уравнение $\alpha + b_2 \beta = t_0$) будет отсекать только те волны, которые успели прийти в данную точку слоя, т. е., начиная с $j = E(c_2 t_0)$, следует учитывать волны, для которых выполн-



Фиг. 1

няется неравенство $t_p + t_s = a + b_2\beta \leqslant t_0$. Здесь через t_p и t_s обозначены времена, затраченные волнами расширения и сдвига на пробег по толщине слоя расстояний a и β соответственно.

При расчете задачи значения ξ определялись из уравнения (11). Для $s_+ > 0$ ($x = 0$) решением уравнения являются положительные ξ . Распространяя решение задачи на значения $x > 0$, следует аналитически продолжить решение уравнения на область комплексных. Значения $x < 0$ можно не рассматривать из-за симметрии задачи относительно оси y . Из анализа решений уравнения (11) можно определить знаки действительной и мнимой частей ξ . Показано, что при $x > 0$ в области, где имеются возмущения, $\operatorname{Re} \xi \geqslant 0$, а $\operatorname{Im} \xi \leqslant 0$. Таким образом, для положительных значений x корни уравнения (11) находятся в четвертом квадранте комплексной плоскости ξ .

При расчете волн в слое было принято $c_2 = 1/1.7$, что соответствует $\lambda = 0.89 \mu$. Ниже приведены некоторые результаты расчетов поля напряжений и скоростей частиц в слое при нагрузке, близкой к сосредоточенной ($\delta = 0.01$).

При действии распределенной вдоль оси x нагрузки в момент времени $t = 0$ возмущению подвергаются все точки поверхности, излучая волны расширения и сдвига. Огибающими этих волн являются прямолинейные фронты, распространяющиеся в направлении оси y со скоростью волн расширения и сдвига. Конечный скачок, который претерпевает решение при переходе через прямолинейные фронты, убывает с течением времени. Внутри этих областей значения напряжений и скоростей частиц непрерывны, но имеют конечные пики в точках, соответствующих фронтам волн при сосредоточенной нагрузке. Пики будут выражены тем резче, чем ближе нагрузка взята к сосредоточенной. Для сосредоточенной нагрузки значения скоростей частиц и напряжений в этих точках обращаются в бесконечность. В дальнейшем, поскольку нагрузка взята близкой к сосредоточенной, именно эти точки будем называть фронтовыми.

На поверхности $y = 0$ σ_y и σ_{xy} подчинены граничным условиям (1), а $\pi\sigma_x = -99.99$ при $x = 0$, $y = 0$, $t = 1.9$. Затем, начиная с $x = 0.65$, значение σ_x становится положительным и имеет максимумы в точках рэлеевской и сдвиговой волн

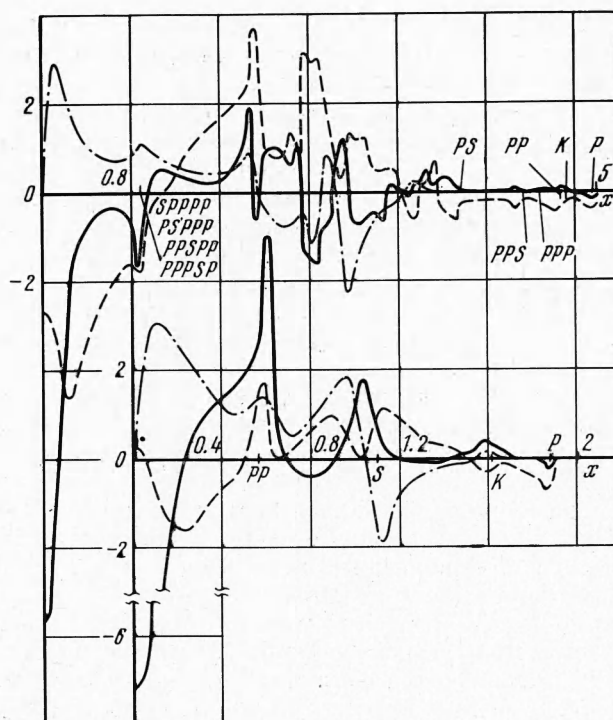
$$x = 1.9 c_R t \sim 1.025, \quad \pi\sigma_x = 33.97; \quad x = 1.9 c_2 \sim 1.11, \quad \pi\sigma_x = 0.75$$

Перед фронтом волны сдвига при $x = 1.6$ σ_x вновь становится сжимающим и имеет минимум $\pi\sigma_x = -0.92$ в точке $x = 1.875$. Так как отраженные от границы $y = 1$ возмущения не успели дойти до границы $y = 0$, волновое поле на поверхности слоя совпадает с волновым полем на поверхности полупространства.

На нижних графиках фиг. 2 представлены напряжения внутри слоя при $y = 0.2$, $0 \leqslant x \leqslant 1.9$, $t = 1.9$, где $\pi\sigma_x$ — пунктирная, $\pi\sigma_y$ — сплошная, $\pi\sigma_{xy}$ — штрихпунктирная линии. Чтобы определить, каким волнам соответствуют пики, геометрически были построены фронты. На графике символами r и s обозначены следы фронтов волн расширения и сдвига. Очередность символов указывает на вид падающей и отраженных волн. Символом k отмечен след прямолинейного фронта сдвиговой волны. Наличие пика у σ_x при $x = 0.9$ обусловлено, по-видимому, поверхностью рэлеевской волной. Этот пик, следующий непосредственно вслед за пиком на фронте сдвиговой волны, прослеживается при $y = 0.4$, $x = 0.85$. Значение напряжения σ_x в этой точке

$$\pi\sigma_x = \pi(\sigma_x)_0 + \pi(\sigma_x)_{pp} = 0.181 + 0.589$$

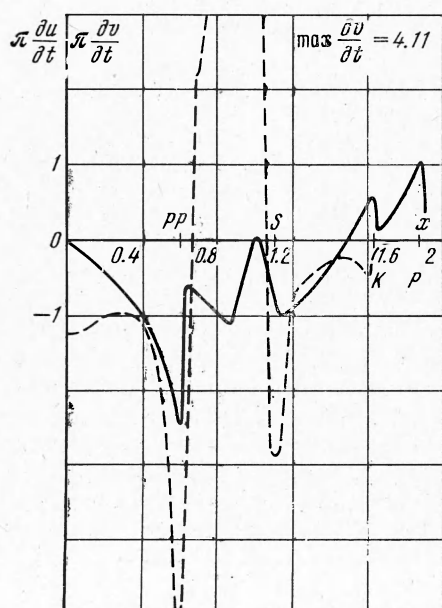
Здесь выделен вклад, который вносит отраженная продольная волна.



Фиг. 2

Расчет показал рост возмущений в точках прямолинейного фронта k при увеличении y . Напряжение σ_x на оси симметрии $x = 0$ при удалении от начала координат из сжимающего становится растягивающим и растет, а σ_y , убывая до нуля при $y = 1$, остается все время сжимающим. Касательное напряжение на оси $x = 0$ равно нулю.

На графиках фиг. 2 приведены также значения напряжений $\pi\sigma_x$, $\pi\sigma_y$, $\pi\sigma_{xy}$ в сечении $y = 0.2$, рассчитанные к моменту времени $t = 5$. Поскольку решение было определено суммированием по волнам, вклад в решение каждой отраженной волны легко определяется. В каждом слагаемом можно выделить пик в точке фронта данной волны. Таким образом были приближенно определены следы некоторых фронтов волн, указанные на графике. На приведенных графиках видно, что напряжение σ_y наиболее часто меняет знак, колебляясь около нуля. Напряжение σ_x в довольно большом промежутке $0.7 < x < 2.4$ является сжимающим. Касательное напряжение σ_{xy} меняет знак примерно столько раз, сколько



Фиг. 3

имеется отраженных круговых фронтов сдвига. Касательное напряжение меняет знак также при переходе прямолинейного фронта сдвиговой волны k .

Графики на фиг. 3 представляют собой скорости частиц при $y = 0.2$ и $t = 1.9$ ($\partial u / \partial t$ — сплошная, $\partial v / \partial t$ — пунктирная линии). На примере волны pp можно проследить влияние отраженной волны на направление результирующей скорости частиц. Если до прихода отраженной волны в точках внутри s -волны $\partial u / \partial t \leq 0$ и $\partial v / \partial t > 0$, то отраженная волна расширения pp , в которой $\partial u / \partial t \leq 0$, $\partial v / \partial t < 0$ «разворачивает» результирующую скорость, при этом $\partial u / \partial t \leq 0$, $\partial v / \partial t < 0$. Пики при $x = 1.6$ определяют приход прямолинейного фронта сдвиговой волны. Результирующая скорость направлена к поверхности $y = 0$ и почти совпадает по направлению с прямолинейным фронтом волны сдвига.

Расчеты проводились на ЭЦВМ БЭСМ-6. При построении графиков на отрезке $0 \leq x \leq 1.9$ были взяты 77 точек. На расчет σ_x , σ_y , σ_{xy} , $\partial u / \partial t$, $\partial v / \partial t$ в одной точке слоя при $t = 1.9$ было затрачено ~ 0.16 сек.

Отметим применимость расчетной схемы, приведенной в работе, для определения решения осесимметричной задачи. Это следует из возможности перехода от преобразования Фурье к преобразованию Ханкеля [4,5]. Формально в (13) надо заменить x на $r \sin \theta$ (r — радиус из начала координат) и проинтегрировать по углу θ от 0 до π . Представление решения в виде ряда и исследование его на оси симметрии можно найти в [6,7].

Поступила 2 I 1973

ЛИТЕРАТУРА

1. Нигул У. К. Применение трехмерной теории упругости к анализу волнового процесса изгиба полубесконечной плиты при кратковременно действующей краевой нагрузке. ПММ, 1963, т. 27, вып. 6.
2. Векслер Н. Д., Мянниль А. И., Нигул У. К. Применение метода сеток в теории типа Тимошенко для исследования переходных процессов деформации плит конечных размеров. Прикл. механ., 1965, т. 1, вып. 12.
3. Петрашень Г. И. Распространение упругих волн в слоисто-изотропных средах, разделенных параллельными плоскостями. Уч. зап. ЛГУ, 1952, вып. 26, № 162.
4. Слепян Л. И. Нестационарные упругие волны. Л., «Судостроение», 1972.
5. Соболев С. Л. Некоторые вопросы теории распространения колебаний, гл. 12. В кн. «Дифференциальные и интегральные уравнения математической физики». Л. — М., ОНТИ, Гостехиздат, 1937.
6. Огурцов К. И. Волны напряжений в упругой плите. ПММ, 1960, т. 24, вып. 3.
7. Никифоровский В. С., Онисько Н. И. К вопросу о тыльном отколе в упругой плите. Физ.-техн. проблемы разработки полезных ископаемых, 1967, № 6.